

# 一种图形交互式 CACSD 软件

罗圣仪

(北京信息控制研究所)

## 摘要

本文介绍作者在微型计算机 PC-8001 及 IBM-PC 上研制的直接图形交互式 CACSD 软件——GISP，包括系统功能、模型的描述及基本功能等框图、塔斯汀算法及其离散化方程、GISP 的运行、结构化程序设计及软硬件支持等，最后介绍了应用实例。

## 一、系统概况及功能

人机交互功能是计算机辅助设计的重要性能之一。近十年来由于交互式硬件的发展，如图形终端、数字化仪、光笔等输入输出设备的应用，使系统的人机交互功能大大得到加强和改善，从而减轻了设计者的重复劳动。

在计算机辅助控制系统设计中，多数系统在模型建立上，仍然采用交互式程序语言，这就要求系统研究人员掌握一定的编程技巧和会编制程序。笔者所发展的 GISP 系统是一种在光笔(或光标)图形终端的基础上，直接输入图形的交互式软件，可用直接输入框图的方式进行交互式设计。整个设计过程是采用菜单和询问方式顺序进行的。一个系统分析人员无需专门的训练和预先编程，就可以操作 GISP。

目前可提供使用的 GISP 系统，可用于任意单变量线性及非线性控制系统的分析设计。

GISP 的基本特性可以概括如下：

(1) GISP 用于单变量线性及非线性控制系统的设计。系统模型采用传递函数描述方式，典型的传递函数包括比例、积分、超前-滞后、PID 环节、二阶、三阶、死区、饱和等，用户可根据需要扩充新的环节。

(2) GISP 的交互式操作采用光笔、键盘、显示屏系统，典型环节以菜单的形式给出，用户通过光笔和键盘在显示屏上建立给定的系统模型框图，并通过键盘给定初始值、参数值、计算步长、运行时间和取样间隔等。

(3) GISP 的处理结果可显示在显示屏上，并打印出附有坐标数据的曲线(见图 1)。

(4) GISP 允许用户在运行过程中修改参数及重复运行，以优化设计。

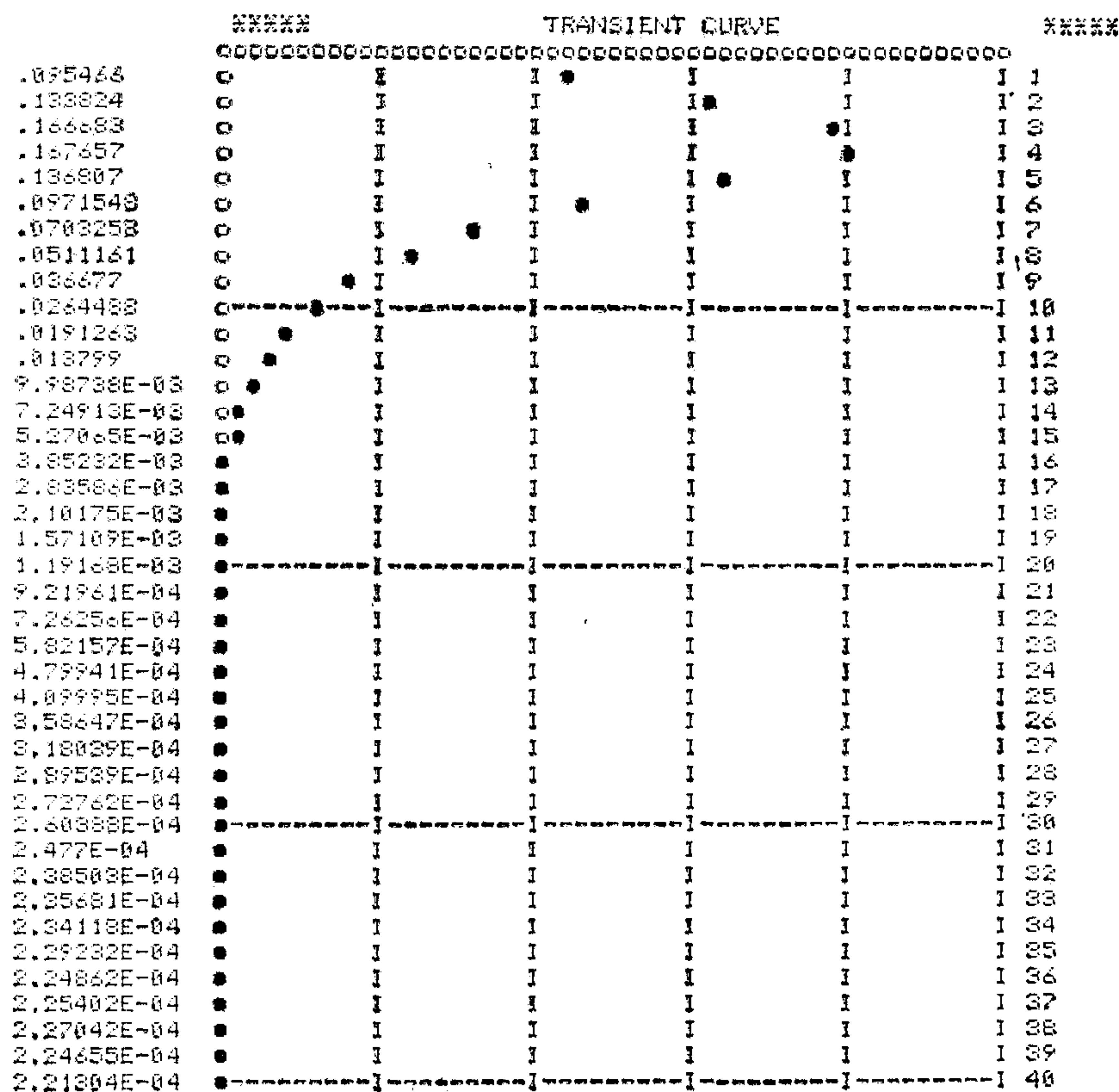


图 1

## 二、模型的描述及基本功能框图

GISP 采用传递函数模型描述方式,已建立了最常用的典型传递函数模型的程序功能

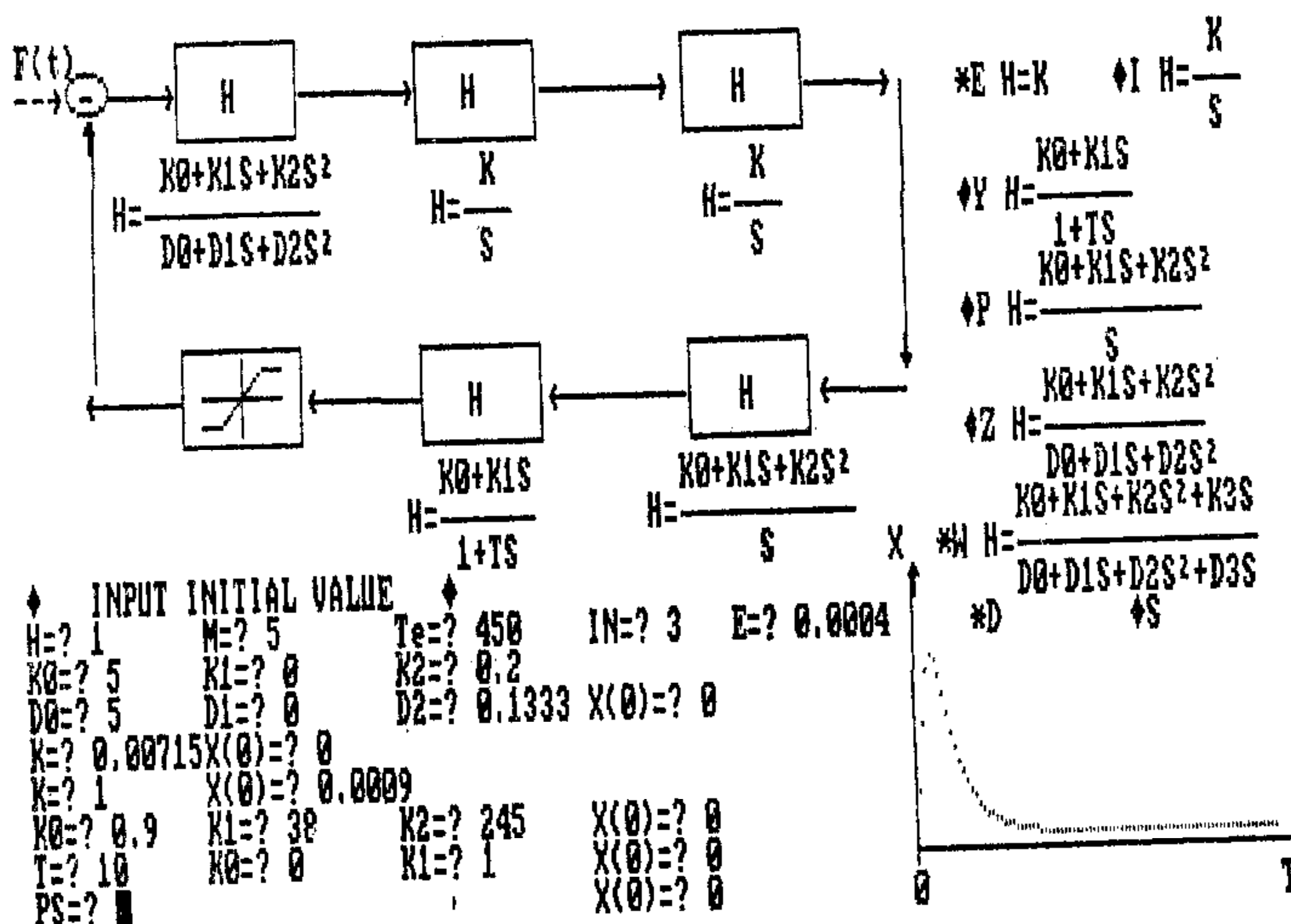


图 2

表 1 典型环节的离散化方程

| 比例       | $H(S) = K$   | $X_{n+1} = KR_{n+1}$   |
|----------|--|--|
| 积分       | $H(S) = \frac{K}{S}$   | $X_{n+1} = K(X_n + B_{n+1}(R_{n+1} + R_n))$<br>$B_{n+1} = \frac{h}{2}$   |
| 超前<br>滞后 | $H(S) = \frac{K_0 + K_1 S}{1 + TS}$  | $X_{n+1} = A_n X_n + B_{n+1} R_{n+1} + B_n R_n$<br>$A_n = \frac{2T - h}{2T + h}; B_{n+1} = \frac{2K_0 + K_1 h}{2T + h}; B_n = \frac{2K_0 - K_1 h}{2T + h}$   |
| PID      | $H(S) = \frac{K_0 + K_1 S + K_2 S^2}{S}$                                     | $X_{n+1} = X_n + A_{n+1} R_{n+1} + A_n R_n + A_{n-1} R_{n-1}$<br>$A_{n+1} = K_1 + \frac{K_2}{h}; A_n = -K_1 - \left(\frac{2K_2}{h}\right) + hK_0; A_{n-1} = \frac{K_2}{h}$   |
| 二阶       | $H(S) = \frac{K_0 + K_1 S + K_2 S^2}{D_0 + D_1 S + S^2}$                     | $X_{n+1} = A_n X_n + A_{n-1} X_{n-1} + B_{n+1} R_{n+1} + B_n R_n + B_{n-1} R_{n-1}$<br>$A_n = \frac{8 - 2D_0 h}{4 + 2D_1 h + D_0 h^2}; A_{n-1} = \frac{4 - 2D_1 h + D_0 h^2}{4 + 2D_1 h + D_0 h^2};$<br>$B_{n+1} = \frac{4K_2 + 2K_1 h + K_0 h^2}{4 + 2D_1 h + D_0 h^2}; B_n = -\frac{8K_2 - 2K_0 h}{4 + 2D_1 h + D_0 h^2};$<br>$B_{n-1} = \frac{4K_1 - 2K_1 h + K_0 h^2}{4 + 2D_1 h + D_0 h^2}$   |
| 三阶       | $H(S) = \frac{K_0 + K_1 S + K_2 S^2 + K_3 S^3}{D_0 + D_1 S + D_2 S^2 + S^3}$ | $X_{n+1} = A_n X_n + A_{n-1} X_{n-1} + A_{n-2} X_{n-2} + B_{n+1} R_{n+1} + B_n R_n$<br>$+ B_{n-1} R_{n-1} + B_{n-2} R_{n-2}$<br>$A_n = \frac{24 + 4D_2 h - 2D_1 h^2 - 3D_0 h^3}{8 + 4D_2 h + 2D_1 h^2 + D_0 h^3}; A_{n-1} = -\frac{24 - 4D_2 h - 2D_1 h^2 + 3D_0 h^3}{8 + 4D_2 h + 2D_1 h^2 + D_0 h^3}$<br>$A_{n-2} = \frac{8 - 4D_2 h + 2D_1 h^2 - D_0 h^3}{8 + 4D_2 h + 2D_1 h^2 + D_0 h^3}; B_{n+1} = \frac{8K_3 + K_2 h + 2K_1 h^2 + K_0 h^3}{8 + 4D_2 h + 2D_1 h^2 + D_0 h^3}$<br>$B_n = -\frac{24K_3 + 4K_2 h - 2K_1 h^2 - 3K_0 h^3}{8 + 4D_2 h + 2D_1 h^2 + D_0 h^3}; B_{n-1} = \frac{24K_3 - 4K_2 h - 2K_1 h^2 + K_0 h^3}{8 + 4D_2 h + 2D_1 h^2 + D_0 h^3}$<br>$B_{n-2} = -\frac{8K_3 - 4K_2 h + 2K_1 h^2 - K_0 h^3}{8 + 4D_2 h + 2D_1 h^2 + D_0 h^3}$ |
| 死区       |  | $-P < R_n < P X_n = 0$<br>$R_n < -P X_n = VA$<br>$R_n > P X_n = -VA$   |
| 饱和       |  | $-Z < R_n < Z X_n = R_n$<br>$R_n < -Z X_n = VB$<br>$R_n > Z X_n = -VB$   |

块。各典型环节的传递函数可显示在显示屏右上方的菜单中(见图 2)。根据实际系统的环节数及反馈形式, 用户可通过光笔顺序定义各环节的传递函数。

GISP 的基本环节及其在显示屏上的描述形式如图 3 所示。

由于 GISP 采用了传递函数的模型描述方式, 因此选用了塔斯汀积分算法做为主要算法<sup>[1,2]</sup>, 它可以方便地将拉氏变换式转变为 Z 变换式, 从而直接求出各典型环节的离散化方程(见表 1)。

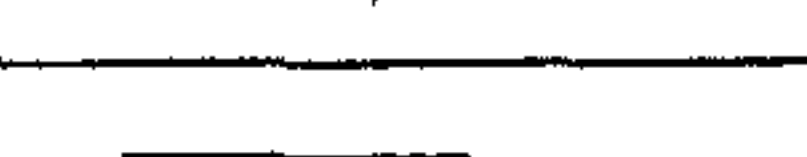
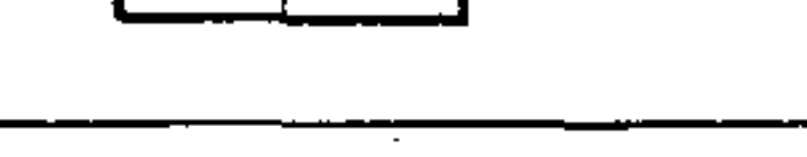
|  |   |
|--|---|
| $H(S) = K$   |    |
| $H(S) = \frac{K}{S}$   |  |
| $H(S) = \frac{K_0 + K_1 S}{1 + TS}$  |  |
| $H(S) = \frac{K_0 + K_1 S + K_2 S^2}{S}$   |  |
| $H(S) = \frac{K_0 + K_1 S + K_2 S^2}{D_0 + D_1 S + D_2 S^2}$                     |  |
| $H(S) = \frac{K_0 + K_1 S + K_2 S^2 + K_3 S^3}{D_0 + D_1 S + D_2 S^2 + D_3 S^3}$ |  |
|  |  |
|  |  |

图 3

### 三、GISP 的运行

#### 1. 屏幕编辑

GISP 可以编辑包含一到六个环节的开环和闭环系统。系统的反馈形式有全反馈、局部反馈、内反馈等。系统模型的最高阶数可达二十四阶。其具体操作步骤如下：

(1) 启动(键盘输入“GISP”).

(2) CRT 上显示典型环节菜单.

(3) 键盘给定参数:

$N = ?$  (系统的总环节数)

$FEEDBACK = ?$  (系统的反馈形式. Y 表示全反馈;  $y, 2y, 3y$  分别表示局部反馈中反馈迴路中的环节数; n 表示开环系统.)

$DOUBLE = ?$  (系统有无内反馈.  $y, 2y$  等分别表示内反馈的不同形式.)

(4) 框图编辑(光笔交互).

(5) 编辑结束询问:  $OK = ? (y/n)$

#### 2. 系统运行

(1) 输入初始值(键盘交互)

$h = ?$  (计算步长)

$T_e = ?$  (运行时间)

$M = ?$  (取样间隔)

$IN = ?$  (典型输入信号; 1 表示正弦信号; 2 表示斜坡信号; 3 表示阶跃信号。)

$R = ?$  (输入信号的初始值)

(2) 每个环节的参数给定

环节指定(光笔交互)

参数值给定(键盘输入)

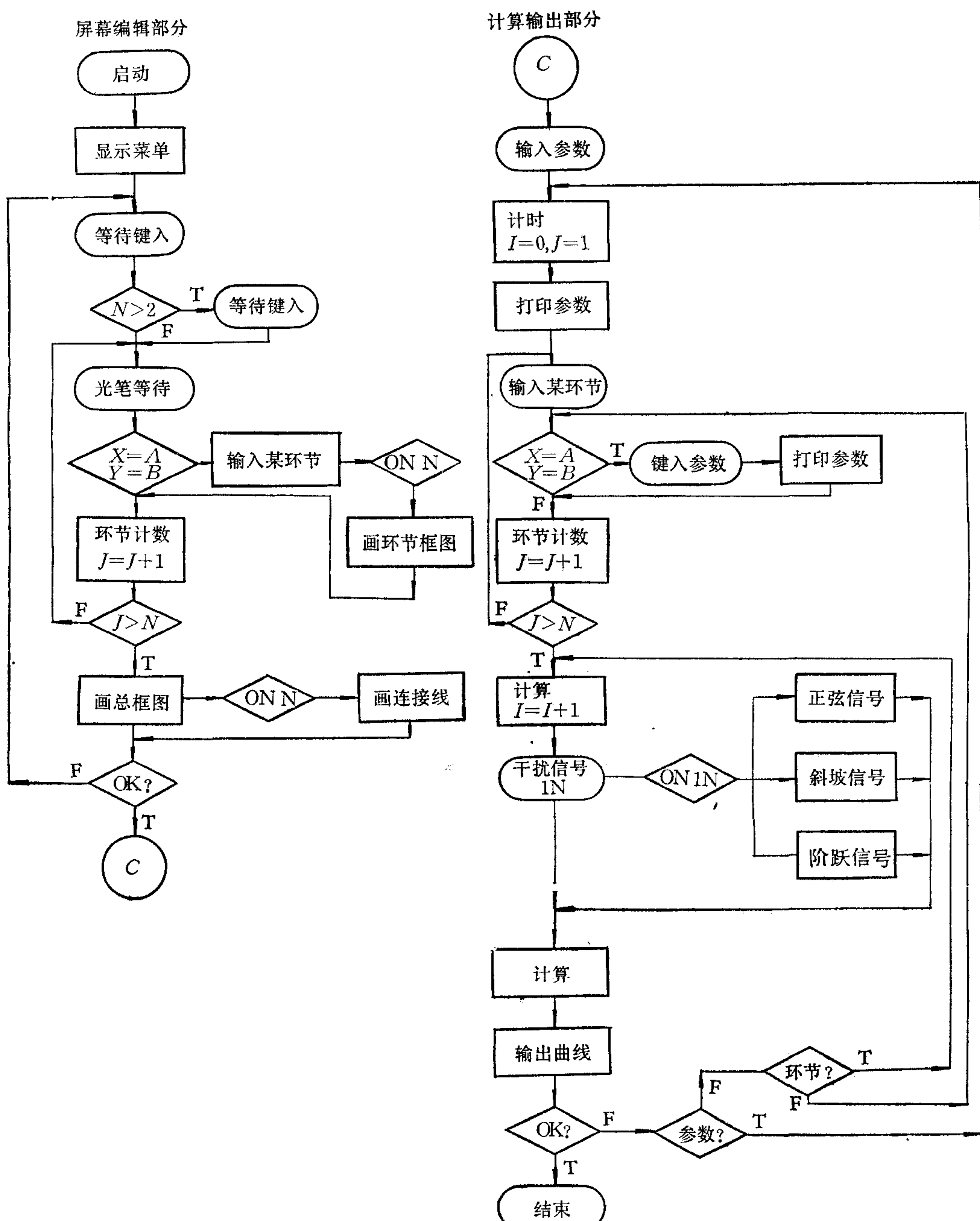


图 4

$T = ?$  (时间常数)       $K_0, K_1, K_2, \dots \dots \dots \}$  (离散化方程中的其他系数)  
 $K = ?$  (比例系数)       $D_0, D_1, D_2, \dots \dots \dots \}$

- (3) 输出结果询问  $PD = ? PC = ?(y/n)$  (打印数据及曲线)  
(4) 修改参数及运行结束询问:  $SATISFY = ?(y/n)$

## 四、程序结构、软硬件支持及实例

### 1. 结构化程序设计<sup>[3]</sup>

GISP 的程序框图如图 4 所示。系统采用结构化程序设计方法，其基本结构有顺序结构、条件分支结构、循环结构及选择结构等。总程序包括三十多个独立的子程序模块，如显示菜单、光笔等待、屏幕编辑、计算、显示曲线、打印曲线及修改参数等。主程序只占全部程序的 10%。程序易于修改和扩充。

### 2. 软硬件支撑

GISP 适用于具有图形终端或简单图形发生器的任何微型计算机，如 IBM-PC，PC-8001，TRS-80，APPLE-II 等。如果没有光笔也可用光标或鼠形器代替。GISP 适用于交互性强的任何高级语言。本程序采用编译 N-BASIC 语言。

某卫星姿态控制系统包含六个环节，其框图如图 4 所示，用 GISP 计算后该系统的过渡过程曲线见图 1。用 GISP 计算了各种类型的标准题，证明 GISP 用于一般控制系统的分析，具有较高的速度和精度，可充分发挥人机对话的功能。GISP 的使用方便，用户无需任何专门训练。GISP 的扩展是很容易的。

### 参 考 文 献

- [1] Howe, R. M., Simulation of transform function model, Proceeding of Summer Simulation conference of SCS, 1982.
- [2] Smith, J. M., Mathematical modeling and digital simulation for engineers and scientists, John Wiley and Sons, Inc, 1977.
- [3] Isermann, R., Digitale regelsysteme, Berlin Heidelberg, New York, 1977.
- [4] Dahl, O. J., Dijkstra, E. W., Structured programming (A. P. I. C. Studies in data processing, No. 8) Academic press, 1972.

## A GRAPHIC INTERACTIVE CACSD SOFTWARE

LUO SHENGYI

(Beijing Institute of Control Engineering)

### ABSTRACT

A CACSD-GISP which is developed on microcomputer IBM-PC and PC-8001 for single variable control system is described in this paper. The paper includes; the function of GISP; the model description of GISP and its basic functional block diagram; tastin algorithm and its discrete equation; the operation of GISP; the structured program design and its support of hardware and software; application example of GISP.